

## 고분자 전해질의 태양전지 응용

강용수 · 김종학

### 1. 서론

태양은 약 50억년 동안이나 막대한 양의 복사 에너지를 계속 방출하고 있다. 태양 에너지 중 대기권에 도달하기 전 30%는 반사되어 소멸되고 나머지 70%가 대기권에 도달한다. 이 중 67%가 지표면에 도달하여 결국 지구에 도달한 양의 절반이 우리가 이용할 수 있는 에너지원이 되고 있다. 태양에너지는 크게 빛에너지와 열에너지로 나눌 수 있는데, 그 중 태양의 빛에너지를 이용해 전기를 만들어내는 것이 바로 태양전지이다. 태양전지의 전원인 태양 빛에너지는 무공해이고 고갈될 염려가 없으므로 매우 훌륭한 에너지원이라 할 수 있다.

태양빛을 전기에너지로 변환하는 방법은 1839년 프랑스 Becquerel에 의해 최초로 발견되었다. 그는 빛을 받을 때 전해질에 담근 전극 사이에서 적은 양의 전류가 흐르는 것을 관찰하였다. 이런 현상을 광전효과라고 하며, 이와 같은 장치를 태양전지라고 부르기 시작하였다. 그 당시의 빛 전환 전류 효율은 고작 1~2% 정도였을 뿐이었다. 본격적인 태양전지 연구는 1940년대에 처음 발명된 실리콘 태양전지를 통해서 시작되었다. 실리콘 태양전지는 매우 높은 효율 (30~40%)을 보여주었고, 따라서 화석연료를 대체할 차세대 에너지로서 각광을 받게 되었다. 실리콘 태양전지 개발을 시작으로 1970년대 말 구리계 및 카드뮴계의 물질들이 태양전지용으로 개발되어 왔다. 그러나 이들 물질의 대부분은 높은 제조 단가 또는 환경적으로 유해한 화학물질을 사용하기

때문에 이를 해결해야 하는 문제점을 안고 있었다. 또한 제조단가를 낮추기 위해 비싼 단결정 실리콘 대신 비교적 값싼 비정질 실리콘으로 전환하고자 노력하고 있었지만, 비정질 실리콘의 제조단가 또한 상업화 수준을 만족시키기는 못하고 있었다.

이러한 연구 진행중, 1991년 스위스의 Grätzel 그룹은 세계최초로 염료감응 태양전지 (dye-sensitized solar cell)를 개발하였으며,<sup>1</sup> 이로써 태양전지는 새로운 국면을 맞이하게 되었다. 이들이 개발한 태양전지는 유/무기 복합형으로써 에너지 전환



강용수

1976 서울대학교 공업화학과 (학사)  
1978 한국과학원 화학과 (硕사)  
1986 미국 Tufts University (박사)  
1992~ 미국 NIST (객원연구원)  
1993 KIST 고분자물리 연구팀  
1986~ 책임연구원  
1998 KIST 촉진수송분리막연구단  
1998~ 현재 단장



김종학

1998 연세대학교 화학공학과 (학사)  
2000 연세대학교 화학공학과 (硕士)  
2003 연세대학교 화학공학과  
KIST 학연 (박사)  
2003~ KIST 촉진수송분리막연구단  
현재 (Post-Doc.)

### Dye-Sensitized Solar Cells Employing Polymer Electrolytes

KIST 촉진수송분리막연구단 (Yong Soo Kang and Jong Hak Kim, Center for Facilitated Transport Membranes Korea Institute of Science and Technology P.O.Box 131, Cheongryang, Seoul 130-650, Korea)  
e-mail:yskang@kist.re.kr

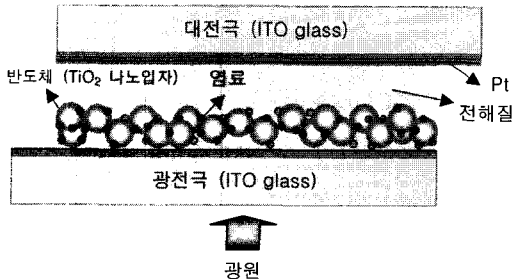


그림 1. 전해질을 이용한 염료감응 태양전지의 구성도.

효율이 7~10%에 이르렀다. 그림 1에서와 같이 전해질을 이용한 염료감응 태양전지는 두 개의 전극, 즉 광전극 (photo electrode)과 대전극 (counter electrode), 염료 (dye), 반도체 (semiconductor) 입자 그리고 전해질로 구성되어 있다. 염료감응 태양전지는 환경적으로 무해한 재료들을 사용할 뿐 아니라, 기존 비정질 실리콘 태양전지에 버금가는 에너지 전환 효율을 가지면서 제조단가가 실리콘 태양전지의 5분의 1 수준이어서 현 발전 단가 수준의 전력 변환 소자로 향상되었다.<sup>2-4</sup> 하지만, 이러한 높은 효율에도 불구하고 상업화의 가장 큰 걸림돌은 태양전지 성능의 장시간 운전 가능성이었다. 전해액의 누수와 용매 증발로 인한 안정성과 유해성이 해결해야 할 또 다른 문제로 떠오르게 되었다.<sup>5-7</sup> 따라서 안정성이 향상된 고분자 전해질을 이용한 염료감응 태양전지를 개발하고자 하는 연구가 최근에 진행되기 시작하였다.

## 2. 본론

### 2.1 태양전지의 구성

전해질을 이용한 염료감응 태양전지의 구성이 그림 1에 나와 있다. 빛을 흡수하여 염료쪽으로 전달하는 광전극으로는 흔히 전도성 indium tin oxide (ITO)가 코팅되어 있는 투명유리가 사용된다. 전극사이의 단락전류를 막기 위해 광전극에 방해층 (blocking layer)을 얇게 코팅한다. 그 위에  $TiO_2$  (혹은  $SnO_2$ ) 나노입자 막을 5~10  $\mu m$  정도로 캐스팅한 뒤, 이 전극을 염료용액 (흔히 Ru 계열의 염료 사용)에 하루동안 담가놓아 염료를  $TiO_2$  나노입자 표면에 흡착시킨다. 대전극으로는 광전극과 같은 ITO가 코팅되어 있는 투명유리 전극을 사용하며, 여기에 스퍼터링 혹은 스핀코팅 방법에 의해 Pt를 코팅하여 사용한다. 두 전극 사이에는 고분자 전해

질 층이 존재하며, 전해질은 외부회로와 대전극을 통해 전달되어진 전자를 산화-환원 반응에 의해 이미 산화된 염료에 다시 공급하는 역할을 한다. 따라서 전해질이 염료에 효과적으로 전자를 공급하기 위해서는 두 물질간의 접촉 표면적이 최대한 넓어야 한다. 고분자 전해질의 경우, 전해질의 이온전도도 높지 않게 이 부분이 전지 성능과 직접적인 관련이 있다.

### 2.2 태양전지의 원리

염료감응 태양전지의 작동원리가 그림 2에 나타나 있다. 표면에 염료분자가 화학적으로 흡착된  $n$  형 나노입자 반도체 산화물 전극에 광선이 흡수되면 염료분자는 기저상태 ( $D^+$ / $D^*$ )로 전자 전이하여 전자-정공 쌍을 이루며, 여기상태의 전자 ( $e^-$ )는 반도체 산화물의 전도띠 (conduction band, CB)로 주입된다. 반도체 산화물 전극으로 주입된 전자는 입자간 계면을 통하여 투명 광전극으로 전달되고, 광전극에 연결된 외부 전선을 통하여 플라티늄 대전극으로 이동된다. 광흡수에 의한 전자전이 결과로 산화된 염료분자 ( $D \rightarrow D^+$ )는 전해질 내의 요오드 이온의 산화 ( $3I^- \rightarrow I_3^- + 2e^-$ )로 제공되는 전자를 받아 다시 환원되며,  $I_3^-$  이온은 대전극에 도달한 전자에 의해 다시 환원되어 염료감응 태양전지 작동 과정이 완성된다. 광전류는 반도체 산화물 전극으로 주입된 전자의 확산으로 얻어지며, 광전압은 반도체 산화물의 폐르미 에너지 ( $E_F$ )와 전해질의 산화-환원 전위의 차이에 의해 결정된다.

### 2.3 태양전지의 특성 변수

빛을 쬐었을 때의 염료감응 태양전지의 전류-전압 특성 곡선이 그림 3에 나타나 있다. 태양전지의 효율을 특징 지워주는 변수로는 개방전압 (open-circuit voltage,  $V_{OC}$ ), 단락전류 (short-circuit current,  $J_{SC}$ ), 그리고 fill factor (FF) 등이 있다. 개방

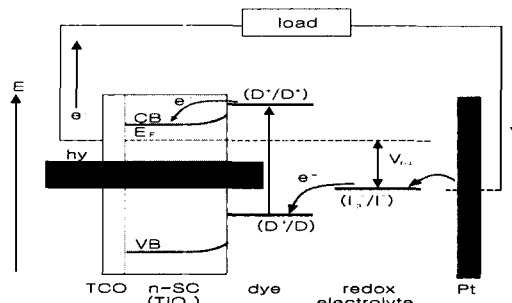


그림 2. 염료감응 나노입자 태양전지의 작동원리.

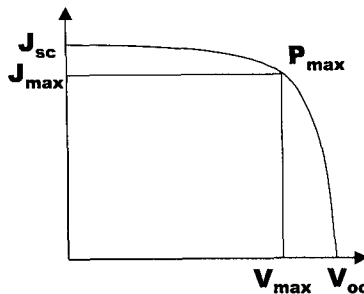


그림 3. 빛을 받았을 때 염료감응 태양전지의 전류-전압 특성 곡선.

전압 ( $V_{oc}$ )은 회로가 개방된 상태, 즉 무한대의 임피던스가 걸린 상태에서 빛을 받았을 때 태양전지의 양단에 형성되는 전위차이다. 얻을 수 있는 최대 한의  $V_{oc}$  값은 반도체의 밴드갭에 의해 결정되므로 밴드갭이 큰 재료를 사용하면 대체로 높은  $V_{oc}$  값이 얻어진다. 단락전류 ( $J_{sc}$ )는 회로가 단락된 상태, 즉 외부저항이 없는 상태에서 빛을 받았을 때 나타나는 전류밀도이다. 이 값은 우선적으로 입사광의 세기와 파장분포에 따라 달라지지만, 이러한 조건이 결정된 상태에서는 광흡수에 의해 여기된 전자와 정공이 재결합하여 손실되지 않고 얼마나 효과적으로 전지 내부에서 외부회로 쪽으로 보내어지는가에 의존된다. 이 때 재결합에 의한 손실은 재료의 내부 혹은 계면에서 일어날 수 있다. 또한  $J_{sc}$ 를 크게 하기 위하여 태양전지 표면에서의 태양 빛의 반사를 최대한으로 감소시켜야 한다. 가능한 모든 파장의 빛을 흡수하기 위해선 반도체의 밴드갭 에너지가 작을수록 유리하지만 그렇게 되면  $V_{oc}$ 도 감소하게 되므로 적정한 밴드갭을 가진 재료가 필요하다. FF는 최대전력점에서의 전류밀도와 전압값의 곱 ( $V_{max} \times J_{max}$ )을  $V_{oc}$ 와  $J_{sc}$ 의 곱으로 나눈 값이다. 따라서 FF는 빛이 가해진 상태에서 J-V곡선의 모양이 사각형에 얼마나 가까운지를 나타내는 지표이다. 태양전지의 효율  $\eta$ 은 전지에 의해 생산된 최대 전력과 입사광 에너지 ( $P_{in}$ ) 사이의 비율이다.

$$FF = \frac{V_{max} \cdot J_{max}}{V_{oc} \cdot J_{sc}}$$

$$\eta(\%) = \frac{V_{max} \cdot J_{max}}{P_{in}} \times 100$$

## 2.4 고분자 전해질

고체 고분자 전해질에서의 이온전도도는 1975

년 Wright 그룹에서 poly(ethylene oxide) (PEO) 와 알칼리 염의 혼합으로 처음 발견되었다.<sup>8</sup> 그 후 1978년 Armand 등에 의해 고분자 전해질의 리튬전지 및 전기화학에의 응용이 시작되었다.<sup>9</sup> 고분자 전해질은 크게 고체 고분자 전해질 (solid polymer electrolyte)과 가소화된 고분자 전해질 (plasticized polymer electrolyte)로 나눌 수 있다. 전자는 고분자와 금속염으로 구성되며, 후자는 고분자, 염 그리고 가소제로 구성된다.

### 2.4.1 고체 고분자 전해질 (Solid Polymer Electrolyte)

고체 고분자 전해질은 격자에너지가 작은 금속염과 이를 해리시킬 수 있는 극성그룹을 갖는 고분자로 구성되는 고체상태의 물질로 상온에서 대략  $10^{-8}$  ~  $10^{-5}$  S/cm의 이온전도도를 나타낸다. 고분자는 산소나 질소와 같이 전자를 줄 수 있는 원소를 포함하고 있고, 이러한 원소들은 금속 양이온과 배위 결합을 함으로써 고분자-금속염의 혼합물을 형성한다. 고체 고분자 전해질 내에서 이온의 이동은 고분자 사슬의 분절운동에 의해 무정형 영역에서 일어난다고 알려져 있다. 따라서 흔히 사용되는 고분자는 PEO, poly(propylene oxide) (PPO), poly(ethylene imine) (PEI), poly(ethylene sulphide) (PES), poly(vinyl acetate) (PVAc), poly(ethylene succinate) (PESc) 등과 같이 낮은 유리전이온도를 갖는다. 그 중 가장 널리 연구된 고분자 전해질은 PEO와 알칼리 금속염의 혼합이다. 하지만, PEO의 경우 상온에서의 높은 결정성 (80%) 때문에 낮은 이온전도도 ( $10^{-7}$  ~  $10^{-8}$  S/cm)를 보인다. 따라서 1980년 중반부터 고체 고분자 전해질내 결정성 영역을 최소화시키는 연구가 활발히 진행되었다.<sup>10-15</sup>

고체 고분자 전해질의 이온전도도를 향상시키기 위해서는 유리전이온도가 낮은 고무상 고분자 및 비결정성 고분자를 개발해야 한다. 고분자 전해질의 이온전도도를 증가시킬 수 있는 방법으로 크게 두 가지로 나눌 수 있다.<sup>10</sup> 첫째는 고분자 사슬의 결정성을 줄여 사슬의 움직임을 향상시키는 것이다. 대표적인 방법으로는 1) 가교화 (crosslink),<sup>11</sup> 2) 공중합 (copolymerization),<sup>12</sup> 3) 벳모양 형성 (comb-like polymer),<sup>13</sup> 4) 상호침투 고분자 (interpenetrant network),<sup>14</sup> 5) 무기물 충진제 사용 (inorganic filler)<sup>15</sup> 등이 있다. 두번째 방법은 운반체의 농도를 증가시키는 것이다. 이는 1) 격자에너지가 낮아 쉽게 해리가 되는 염을 사용하는 것과<sup>16</sup> 2) 염의

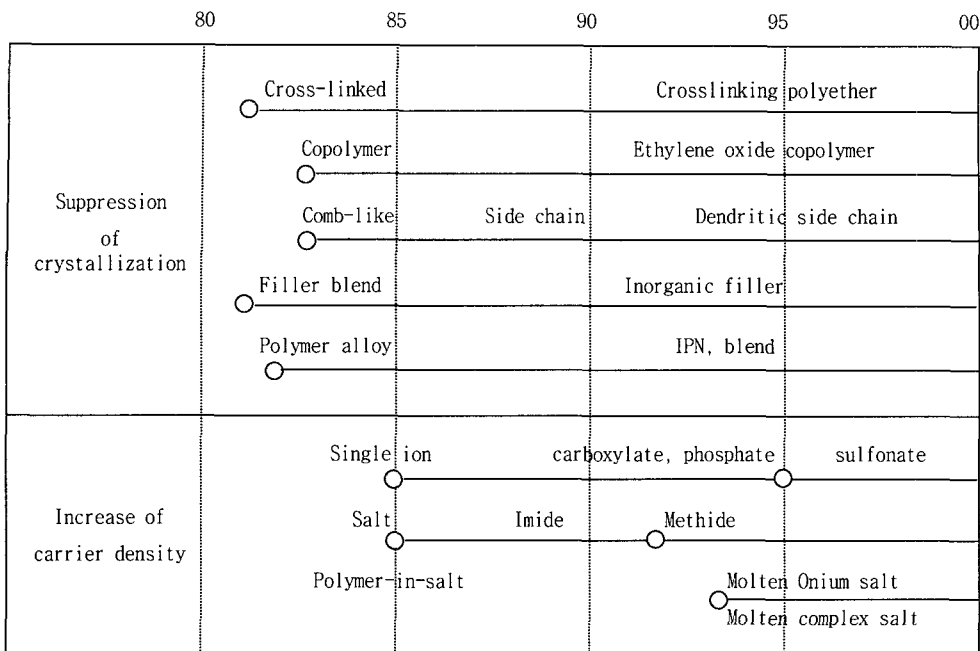


그림 4. 고체 고분자 전해질의 발전과정.

농도를 증가시킴으로서<sup>17</sup> 가능하다. 다양한 고체 고분자 전해질 재료의 발전과정을 **그림 4**에 요약하였다.

#### 2.4.2 가소화된 고분자 전해질 (Plasticized Polymer Electrolyte)

가소화된 고분자 전해질은 극성기를 갖는 고분자, 금속염 및 유기용매로 구성되며 젤 (gel) 상태를 띠며, 상온에서 대략  $\sim 10^{-3}$  S/cm의 이온전도도를 나타낸다.<sup>18~21</sup> 고분자는 고분자 전해질의 지지체 역할을 함께 반해, 가소제는 염을 해리시키고 이온을 전달시키는 역할을 담당한다. 대표적인 고분자 매질로는 poly(vinylidene fluoride) (PVdF), poly(acrylonitrile) (PAN), poly(methyl methacrylate) (PMMA), poly(vinyl chloride) (PVC) 등이 있다. 가소제는 점도가 낮고, 유전상수가 높은 propylene carbonate (PC), ethylene carbonate (EC), dimethylformamide (DMF), dimethylsulfoxide (DMSO),  $\gamma$ -butyrolactone ( $\gamma$ -BL) 등의 유기용매가 사용된다. 하지만 가소제로서 무엇보다 중요한 것은 쉽게 증발되지 않을 만큼의 낮은 증기압과 고분자 매질과의 높은 상용성이라 할 수 있다.

#### 2.5 고분자 전해질 태양전지의 개발 현황

##### 2.5.1 고체 고분자 전해질 태양전지

용매가 없는 고체 고분자 전해질을 이용한 태양전지는 2001년 브라질의 De Paoli 그룹의 연구에 의

해 최초로 시도되었다.<sup>22</sup> 이들은 poly(epichlorohydrin-co-ethylene oxide) (Epychlomer)/NaI/I<sub>2</sub>로 구성된 고분자 전해질을 제조하였으며, 100 mW/cm<sup>2</sup>에서 1.6%, 10 mW/cm<sup>2</sup>에서 2.6%의 높은 에너지 전환 효율을 보여주었다. 고분자 전해질을 이용한 태양전지에서 낮은 전지 성능은 사슬의 길이가 긴 고분자가 TiO<sub>2</sub> 막 사이로 침투하기가 힘들어서 염료와의 접촉면적을 감소시키기 때문으로 알려져 있다. 이들이 개발한 태양전지의 상대적으로 높은 효율의 요인으로 두 가지를 들고 있다. 첫째는 TiO<sub>2</sub> 입자와 Epychlomer의 ethylene oxide 그룹과의 산-염기 상호작용이다. 특히 Epychlomer는 순수 PEO와는 다르게 결정성이 거의 없는 비정형 구조를 가지기 때문에 이러한 상호작용을 더욱 강하게 가져온다고 하였다. 둘째는 60 °C의 고온 특히 묽은 고분자 용액을 사용하여 용액의 점도를 낮추고 이로써 TiO<sub>2</sub> 막 사이의 기공으로 고분자 전해질을 침투시킬 수 있었다. 고분자 전해질의 TiO<sub>2</sub> 막 사이로의 효과적 침투를 확인하기 위해 TiO<sub>2</sub>가 있는 광전극과 대전극을 통해 incident photon to current efficiency (IPCE) 스펙트럼을 측정하였다. **그림 5**에서와 같이 광전극을 통해 빛을 쪼여주었을 때, 매우 높은 IPCE 값을 보여주었다. 이 값은 액체 전해질을 이용한 염료감응 태양전지에서

와 비슷한 정도로써, 대전극쪽으로 빛을 쪼여주었을 때보다 높은 값을 보여주었다. 따라서 고분자 전해질과  $TiO_2$  막 사이에 충분한 접촉이 이루어지고 있음을 알 수 있었다.

최근 2002년 그리스의 Falaras 그룹은 한층 더 높은 에너지 전환 효율을 보여주었다.<sup>23</sup> 이들은 결정성이 높은 PEO에  $TiO_2$  나노 입자를 첨가하여 고분자의 결정성을 줄이고, 따라서  $I^-/I_3^-$ 의 이동도를 향상시키는 연구를 하였다. Differential scanning calorimetry (DSC)와 atomic force microscopy (AFM)를 이용하여 PEO의 결정성이 상당히 감소하는 것을 확인하였다. 따라서 이온전도도는 상온에서  $10^{-5} S/cm$ 까지 증가하였으며, 제조된 태양전지는  $65.6 mW/cm^2$ 에서  $V_{OC} = 0.664 V$ ,  $J_{SC} = 7.2 mA/cm^2$ ,  $FF = 0.58$ ,  $\eta = 4.2\%$ 의 높은 효율을 보여주었다 (그림 6).

한편 본 연구단에서는 높은 이온전도도 ( $\sim 10^{-5}$

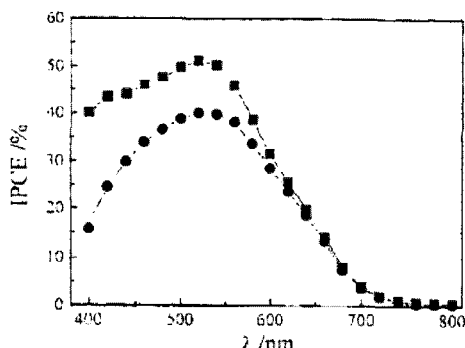


그림 5. Epychlomer 고분자 전해질을 이용한 염료감응 태양전지의 IPCE 스펙트럼. 빛을 쪼여준 방향: 광전극 (■), 대전극 (●).<sup>22</sup>

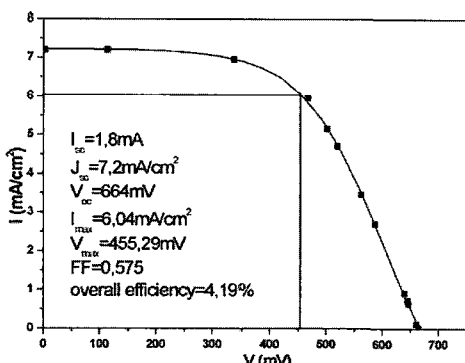


그림 6. PEO/ $TiO_2$ /LiI/ $I_2$  고분자 전해질을 이용한 염료감응 태양전지의 전류-전압 곡선.<sup>23</sup>

$S/cm$ )를 보이면서 물리적 성능이 우수한 고분자 전해질을 개발하고, 또한 이를 효과적으로 염료감응 태양전지에 응용할 수 있는 기술을 개발함으로써 더욱 향상된 에너지 전환 효율을 보여주었다.<sup>24</sup> 제조된 태양전지는  $100 mW/cm^2$ 에서  $\eta = 3.5\%$ ,  $10 mW/cm^2$ 에서  $\eta = 8.1\%$ 의 매우 높은 효율을 보여주었다.

### 2.5.2 가소화된 고분자 전해질 태양전지

가소화된 고분자 전해질은 고체 고분자 전해질에 비해 높은 이온전도도를 보이고, 또한 가소제의 도움으로  $TiO_2$  입자와의 접촉이 좋아 보다 높은 태양전지 성능을 보인다.<sup>25-30</sup> 가소화된 고분자 전해질을 이용한 태양전지는 1995년 Searson 그룹에 의해 처음으로 발표되었다.<sup>25</sup> 이들은 고분자 매질로 PAN, 산화-환원쌍으로는 NaI/ $I_2$ 를 사용하였으며, 염을 해리시키고 이온을 전달하는 역할을 하는 유기용매로는 EC/PC를 사용하였다.  $30 mW/cm^2$ 에서  $V_{OC} = 0.58 V$ ,  $J_{SC} = 3.4 mA/cm^2$ ,  $FF = 0.67$ ,  $\eta = 4.4\%$ 의 성능을 보여주었으며, IPCE 값이 최대 37% 정도로써 액체 전해질 태양전지의 경우보다 반정도의 효율을 나타내었다.

1996년 일본의 Matsumoto 그룹은 poly(oligo-ethylene glycol methacrylate) (PMEO)/ethylene glycol (EG)/LiI/ $I_2$  전해질을 이용하여 2가지 방법으로 태양전지를 제조하였다.<sup>26</sup> 첫번째 방법 (A)으로는 MEO, EG, LiI 및 개시제를 섞어 용액을 제조한 후,  $TiO_2$  필름을 1시간 동안 담가 놓은 뒤 UV로 조사하여 고분자를 중합하였다. 그 뒤  $I_2$  용액에 담가 태양전지를 제조하였다. 두번째 방법 (B)으로는 먼저 MEO를 중합하여 PMEO를 만든 뒤, EG, LiI,  $I_2$ 를 같은 용매에 녹여 염료감응  $TiO_2$  필름에 캐스팅하여 태양전지를 제조하였다. A 방법에 의해 제조된 태양전지는 ( $V_{OC} = 0.37 V$ ,  $J_{SC} = 0.18 mA/cm^2$ ,  $FF = 0.63$ ,  $\eta = 0.45\%$ )로 B 방법에 의해 제조된 전지 ( $V_{OC} = 0.22 V$ ,  $J_{SC} = 0.12 mA/cm^2$ ,  $FF = 0.58$ ,  $\eta = 0.15\%$ ) 보다 높은 성능을 보여주었다.

1999년 De Silva 그룹은 고분자 전해질로 PAN/MI/ $I_2$ /PC/EC ( $M^+ = Li^+, Na^+, K^+, Cs^+$ , tetrabutylammonium $^+$ )을, 전극으로  $SnO_2/ZnO$  복합막을 사용함으로써 염료감응 태양전지를 제조하였다.<sup>27</sup> 양 이온의 종류에 따라 태양전지의 성능이 달랐으며, 특히  $Cs^+$  이온을 사용하였을 때 가장 높은 효율을 나타내었다 ( $100 mW/cm^2$ 에서 4.1%,  $10 mW/cm^2$ 에서 9.0%).

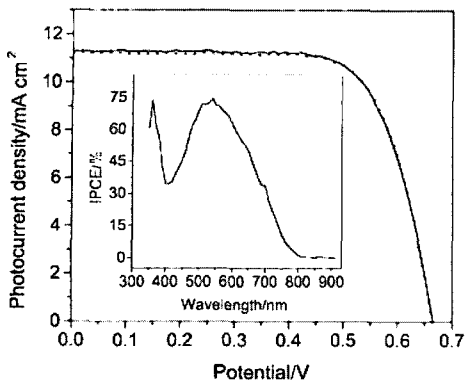


그림 7. 가소화된 고분자 전해질 (PVdF-HFP/MPII/I<sub>2</sub>)을 이용한 염료감응 태양전지의 전류-전압 곡선과 IPCE 곡선.<sup>28</sup>

2002년 Grätzel 그룹은 poly(vinylidenefluoride-co-hexafluoropropylene) (PVdF-HFP)와 1-methyl-3-propylimidazolium iodide (MPII)를 이용하여 가소화된 고분자 전해질을 제조하였으며, 염료감응 태양전지에 응용하였다.<sup>28</sup> 이를 이용한 염료감응 태양전지의 전류-전압 곡선과 IPCE 곡선이 그림 7에 나타나 있다. 100 mW/cm<sup>2</sup>에서  $V_{OC} = 0.67$  V,  $J_{SC} = 11.3$  mA/cm<sup>2</sup>, FF=0.67,  $\eta = 5.3\%$ 의 성능을 나타내었으며 540 nm에서 74%의 아주 높은 IPCE 값을 보여주었다. 현재까지 개발된 고분자 전해질을 이용한 염료감응 태양전지의 종류 및 성능을 정리하여 표 1에 비교하였다.

### 3. 맷음말

초기에는 고분자 전해질의 응용분야가 리튬 전지 쪽에 국한 되었지만, 최근에는 응용이 기체분리막,<sup>31,32</sup>연료전지<sup>33</sup> 및 태양전지에까지 이르고 있다. 특히 태양전지용 고분자 전해질에 대한 연구는 가소화된 고분자 전해질의 경우 1995년, 고체 고분자 전해질의 경우 2001년이 되어야 본격적으로 시작됐을 만큼 아직은 초기연구 상태라 할 수 있다. 고분자 전해질을 이용한 염료감응 태양전지의 관건은 이온전도도가 높은 고분자 전해질의 개발과 염료와 고분자 전해질과의 접촉향상이라 할 수 있다. 이온전도도를 향상시키기 위해서는 앞에서 소개한 바와 같이, 고분자 사슬의 결정성을 줄여 사슬의 움직임을 향상시키는 방법과 운반체 이온의 농도를 증가시키는 방법이 있다. 한편 염료와 고분자 전해질 사이의 접촉을 향상시키기 위해서는 고분자 사슬의 크기가 TiO<sub>2</sub> 입자 사이의 공간보다 작게 하여 침투를 가능하게 함으로써 해결될 수 있다. 따라서 고분자 전해질에 대한 근본적이고 체계적인 이해를 바탕으로 고분자 전해질의 매질이 될 고분자를 설계하고, 이를 염료감응 태양전지에 효과적으로 응용하면, 머지않아 고분자 전해질 태양전지의 현실화가 올 것으로 기대한다.

### 참고문헌

- B. O' Regan, M. Grätzel, *Nature*, **335**, 737 (1991).
- U. Bach, D. Lupo, P. Comte, J. E. Moser, F. Weissortel, J. Salbeck, H. Spreitzer, and M. Grätzel, *Nature*, **395**, 583 (1998).

표 1. 고분자 전해질을 이용한 염료감응 태양전지의 개발 현황

Type	Year	Polymer electrolytes	$P_{in}$ (mW/cm <sup>2</sup> )	$V_{OC}$ (V)	$J_{SC}$ (mA/cm <sup>2</sup> )	FF	$\eta$ (%)	Ref.
Solid	2001	Epychomer/NaI/I <sub>2</sub>	10 100	0.73 0.82	0.5 4.2	0.73 0.48	2.6 1.6	22
	2002	PEO/TiO <sub>2</sub> /LiI/I <sub>2</sub>	65.6	0.66	7.2	0.58	4.2	23
	2003	-	10 100	0.69 0.78	1.84 6.81	0.64 0.54	8.1 3.5	24
Gel	1995	PAN/NaI/I <sub>2</sub> /EC/PC	30	0.58	3.4	0.67	4.4	25
	1996	PMEO/EG/LiI/I <sub>2</sub>	10	0.37	0.18	0.63	0.45	26
	1999	PAN/CsI/I <sub>2</sub> /EC/PC	10 100	0.57 0.60	2.2 11.5	0.72 0.59	9.0 4.1	27
	2002	PVdF-HFP/MPII/I <sub>2</sub>	100	0.67	11.3	0.67	5.3	28
	2002	PAN/Pr <sub>n</sub> NI/I <sub>2</sub> /EC/PC	60	0.69	3.7	0.54	3.0	29
	2003	PEO/PS-nQAS/I <sub>2</sub> /EC/PC	60	0.60	2.1	0.68	1.4	30

3. M. Grätzel, *Prog. Photovolt. Res. Appl.*, **8**, 171 (2000).
4. M. Grätzel, *Nature*, **414**, 338 (2001).
5. P. Wang, S. M. Zakeeruddin, P. Comte, I. Exnar, and M. Grätzel, *J. Am. Chem. Soc.*, **125**, 1166 (2003).
6. E. Stathatos, P. Lianos, U. Lavrencic-Stangar, and B. Orel, *Adv. Mater.*, **14**, 354 (2002).
7. G. Katsaros, T. Stergiopoulos, I. M. Arabatzis, K. G. Papadokostaki, and P. Falaras, *J. Photochem. and Photobiol. A: Chem.*, **149**, 191 (2002).
8. P. V. Wright, *Br. Polymer. J.*, **7**, 319 (1975).
9. M. B. Armand, J. M. Chabagno, and M. Duclot, *Second International Meeting on Solid Electrolytes*, St. Andrews, Scotland, Sept. 20–22, 1978.
10. K. Murata, S. Izuchi, and Y. Yoshihisa, *Electrochim. Acta*, **45**, 1501 (2000).
11. A. Nishimoto, K. Agehara, N. Furuya, T. Watanabe, and M. Watanabe, *Macromolecules*, **32**, 1541 (1999).
12. D. J. Harris, T. J. Bonagamba, K. Schmidt-Rohr, P. P. Soo, D. R. Sadoway, and A. M. Mayes, *Macromolecules*, **35**, 3772 (2002).
13. T. J. Cleij, L. W. Jenneskens, M. Wubbenhorst, and J. van Turnhout, *Macromolecules*, **32**, 8663 (1999).
14. X. Hou and K. S. Siew, *Solid State Ionics*, **147**, 391 (2002).
15. F. Croce, G. B. Appeticchi, L. Persi, and B. Scrosati, *Nature*, **394**, 456 (1998).
16. A. Vallee and S. Besner, and J. Prud' homme, *Electrochim. Acta*, **37**, 1579 (1992).
17. C. A. Angell, C. Liu, and E. Sanchez, *Nature*, **362**, 137 (1993).
18. S. Rajendran, O. Mahendran, and R. Kannan, *Mater. Chem. Phys.*, **74**, 52 (2002).
19. Z. Jiang, B. Carroll, and K. M. Abraham, *Electrochim. Acta*, **42**, 2667 (1997).
20. P. Mustarelli, E. Qaurtarone, C. Tomasi, and A. Magistris, *Solid State Ionics*, **135**, 81 (2000).
21. Y. Saito, H. Kataoka, C. Capiglia, and H. Yamamoto, *J. Phys. Chem. B.*, **104**, 2189 (2000).
22. A. F. Nogueira, J. R. Durrant, and M.-A. De Paoli, *Adv. Mater.*, **13**, 826 (2001).
23. T. Stergiopoulos, I. M. Arabatzis, G. Katsaros, and P. Falaras, *Nano Letters*, **2**, 1259 (2002).
24. M. S. Kang, J. H. Kim, Y. J. Kim, J. Won, and Y. S. Kang (unpublished work).
25. F. Cao, G. Oskam, and P. C. Searson, *J. Phys. Chem.*, **99**, 17071 (1995).
26. M. Matsumoto, H. Miyazaki, K. Matsuhiro, Y. Kumashiro, and Y. Takaoka, *Solid State Ionics*, **89**, 263 (1996).
27. K. Tennakone, G. K. R. Senadeera, V. P. S. Perera, I. R. M. Kottekoda, and L. A. A. De Silva, *Chem. Mater.*, **11**, 2474 (1999).
28. P. Wang, S. M. Zakeeruddin, I. Exnar, and M. Grätzel, *Chem. Commun.*, 2972 (2002).
29. O. A. Illeperuma, M. A. K. L. Dissanayake, and S. Somasundaram, *Electrochim. Acta*, **47**, 2801 (2002).
30. J. Kang, W. Li, X. Wang, Y. Lin, X. Xiao, and S. Fang, *Electrochim. Acta*, **48**, 2487 (2003).
31. S. U. Hong, J. H. Jin, J. Won, and Y. S. Kang, *Adv. Mater.*, **12**, 968 (2000).
32. J. H. Kim, B. R. Min, C. K. Kim, J. Won, and Y. S. Kang, *Macromolecules*, **35**, 5250 (2002).
33. J. Won, H. H. Park, Y. J. Kim, S. W. Choi, H. Y. Ha, I. H. Oh, H. S. Kim, Y. S. Kang, and K. J. Ihn, *Macromolecules*, **36**, 3228 (2003).